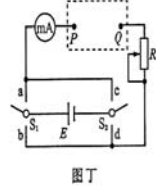
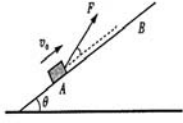


③该同学查阅资料发现,使半导体薄片中的电流反向再次测量,取两个方向测量的平均值,可以减小霍尔系数的测量误差,为此该同学设计了如图丁所示的测量电路。 S_1 、 S_2 均为单刀双掷开关,虚线框内为半导体薄片(未画出),为使电流自Q端流入,P端流出,应将 S_1 掷向_____(填“a”或“b”), S_2 掷向_____(填“c”或“d”)。

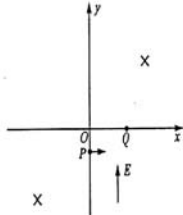


图丁

22. (15分) 如图所示,一质量 $m = 0.4\text{kg}$ 的小物块,以 $v_0 = 2\text{m/s}$ 的初速度,在与斜面成某一角度的拉力 F 作用下,沿斜面向上做匀加速运动,经 $t = 2\text{s}$ 的时间物块由 A 点运动到 B 点, A、B 之间的距离 $L = 10\text{m}$, 已知斜面倾角 $\theta = 30^\circ$, 物块与斜面之间的动摩擦因数 $\mu = \frac{\sqrt{3}}{3}$, 重力加速度 g 取 10m/s^2 。

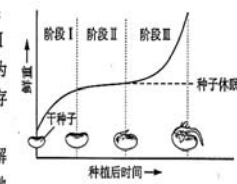


23. (18分) 如图所示,在坐标系 xOy 的第一、第三象限内存在相同的匀强磁场,磁场方向垂直于 xOy 平面向里;第四象限内有沿 y 轴正方向的匀强电场,电场强度大小为 E 。一带电量为 $+q$ 、质量为 m 的粒子,从 y 轴上的 P 点沿 x 轴正方向射入第四象限,经 x 轴上的 Q 点进入第一象限,随即撤去电场,以后仅保留磁场。已知 $OP = d$, $OQ = 2d$, 不计粒子重力。



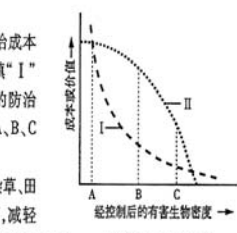
24. (9分) 长跑比赛中,运动员体内多种生理过程发生了改变。
 (1) 机体产热大量增加,通过神经调节,引起皮肤____和汗腺分泌增强,导致散热加快以维持体温和的相对恒定。这一调节过程的中枢位于____。
 (2) 机体大量出汗导致失水较多,刺激渗透压感受器,引起垂体释放____,继而促进____,以维持体内的水盐平衡。
 (3) 机体血糖大量消耗的主要途径是____,此时骨骼肌细胞的直接供能物质是____。血糖含量降低时,胰岛 A 细胞分泌的胰高血糖素增加,肾上腺髓质分泌的____增加,使血糖快速补充。
 (4) 比赛结束后,运动员可适量补充水分以消除由于____中渗透压升高引起的渴感,还可通过积极放松的方式缓解因肌肉细胞中____积累过多造成的肌肉酸痛。

25. (10分) 大豆种子萌发过程中鲜重的变化曲线如图:
 (1) 阶段 I 和 III 大豆种子的鲜重增加明显。阶段 I 中,水进入种子胚细胞的(跨)膜运输方式为____。阶段 III 中,种子胚细胞内水的主要存在形式是____。
 (2) 阶段 II 期间,大豆种子胚细胞合成的____解除种子休眠,促进种子萌发。阶段 III 中根向地生长的原因是____分布不均,使根的近地侧生长受到____。
 (3) 若测得阶段 II 种子吸收 O_2 与释放 CO_2 的体积比为 1:3, 则此时种子胚细胞的无氧呼吸与有氧呼吸消耗葡萄糖之比为____。
 (4) 大豆幼苗在适宜条件下进行光合作用时,若突然停止 CO_2 供应,短时间内叶绿体中 C_3 和 ATP 含量的变化分别为____、____。大田种植大豆时,“正其行,通其风”的主要目的是通过____提高光合作用强度以增加产量。

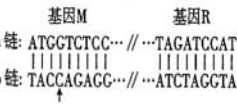


26. (8分) 稻田中除水稻外,还有杂草、田螺等生物。
 (1) 调查稻田中田螺种群密度时可采用样方法,选取样方的关键是____。根据右侧的取样调查表可估算出稻田中田螺的种群密度为____只/ m^2 。
 (2) 稻田中经控制后的有害生物密度与所需的防治成本有关,并影响作物的价值。图中曲线____(填“I”或“II”)表示将有害生物控制在不同密度时的防治成本。若将有害生物密度分别控制在图中 A、B、C 三点,则控制在____点时收益最大。
 (3) 如在适当时间将鸭引入稻田,鸭能以稻田中的杂草、田螺等有害生物为食,从而可以减少____使用,减轻环境污染。稻田生态系统中的____能将鸭的粪便分解成____以促进水稻的生长。

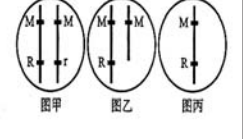
样方编号	1	2	3	4	5	6
样方面积(m^2)	1	1	1	1	1	1
田螺数量(只)	15	18	15	19	15	14



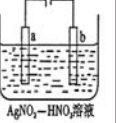
27. (14分) 某二倍体植物宽叶(M)对窄叶(m)为显性,高茎(H)对矮茎(h)为显性,红花(R)对白花(r)为显性。基因 M、m 与基因 R、r 在 2 号染色体上,基因 H、h 在 4 号染色体上。
 (1) 基因 M、R 编码各自蛋白质前 3 个氨基酸的 DNA 序列如图,起始密码子均为 AUG。若基因 M 的 b 链中箭头所指碱基 C 突变为 A, 其对应的密码子将由____变为____。正常情况下,基因 R 在细胞中最多有____个,其转录时的模板位于____(填“a”或“b”)链中。
 (2) 用基因型为 MMHh 和 mmhh 的植株为亲本杂交获得 F_1 , F_1 自交获得 F_2 , F_2 中自交性状不分离植株所占的比例为____;用隐性亲本与 F_2 中宽叶高茎植株测交,后代中宽叶高茎与窄叶矮茎植株的比例为____。
 (3) 基因型为 Hh 的植株减数分裂时,出现了一部分处于减数第二次分裂中期的 Hh 型细胞,最可能的原因是____。缺失一条 4 号染色体的高茎植株减数分裂时,偶然出现一个 HH 型配子,最可能的原因是____。



(4) 现有一宽叶红花突变体,推测其体细胞内与该表现型相对应的基因组成为图甲、乙、丙中的一种,其他同源染色体数目及结构正常。现只有各种缺失一条染色体的植株可供选择,请设计一步杂交实验,确定该突变体的基因组是哪一种。(注:各型配子活力相同;控制某一性状的基因都缺失时,幼胚死亡)



实验步骤:①____;
 ②观察、统计后代表现型及比例。
 结果预测: I. 若____, 则为图甲所示的基因组组成;
 II. 若____, 则为图乙所示的基因组组成;
 III. 若____, 则为图丙所示的基因组组成。
 28. (12分) 金属冶炼与处理常涉及氧化还原反应。
 (1) 由下列物质冶炼相应金属时采用电解法的是____。
 a. Fe_2O_3 b. $NaCl$ c. Cu_2S d. Al_2O_3
 (2) 辉铜矿(Cu_2S)可发生反应: $2Cu_2S + 2H_2SO_4 + 5O_2 = 4CuSO_4 + 2H_2O$, 该反应的还原剂是____。当 1 mol O_2 发生反应时, 还原剂所失电子的物质的量为____ mol。向 $CuSO_4$ 溶液中加入镁条时有气体生成, 该气体是____。
 (3) 右图为电解精炼银的示意图, _____(填“a”或“b”)极为含有杂质的粗银, 若 b 极有少量红棕色气体产生, 则生成该气体的电极反应式为____。
 (4) 为处理银器表面的黑斑(Ag_2S), 将银器浸入铜盐溶液里, 食盐水中并与铝接触, Ag_2S 转化为 Ag , 食盐水的作用是____。



29. (15分) 化学反应原理在科研和生产中有广泛应用。
 (1) 利用“化学蒸气转移法”制备 Ta_2S_5 晶体, 发生如下反应:
 $Ta_2S_5(s) + 2I_2(g) = 2TaI_5(g) + S_2(g) \quad \Delta H > 0$ (I)
 反应(I)的平衡常数表达式 $K = \frac{[TaI_5]^2 [S_2]}{[I_2]^2}$, 若 $K = 1$, 向某恒容容器中加入 1 mol $I_2(g)$ 和足量 $Ta_2S_5(s)$, $I_2(g)$ 的平衡转化率为____。
 (2) 如图所示, 反应(I)在石英真空管中进行, 先在温度为 T_2 的一端放入未提纯的 Ta_2S_5 粉末和少量 $I_2(g)$, 一段时间后, 在温度为 T_1 的一端得到了纯净 Ta_2S_5 晶体, 则温度 T_1 _____ T_2 (填“>”“<”或“=”)。上述反应体系中循环使用的物质是____。
 (3) 利用 I_2 的氧化性可测定钢铁中硫的含量。做法是将钢样中的硫转化成 H_2SO_3 , 然后用一定浓度的 I_2 溶液进行滴定, 所用指示剂为____, 滴定反应的离子方程式为____。
 (4) 25℃ 时, $H_2SO_3 = HSO_3^- + H^+$ 的电离常数 $K_1 = 1 \times 10^{-7} \text{mol} \cdot \text{L}^{-1}$, 则该温度下 $NaHSO_3$ 水解反应的平衡常数 $K_2 = \frac{c(H_2SO_3) \cdot c(OH^-)}{c(HSO_3^-)} = \frac{10^{-14}}{K_1} \text{mol} \cdot \text{L}^{-1}$, 若向 $NaHSO_3$ 溶液中加入少量的 I_2 , 则溶液中 $\frac{c(H_2SO_3)}{c(HSO_3^-)}$ 将____(填“增大”“减小”或“不变”)。

财经特色 商贸首选 经贸精英的摇篮

山东经贸职业学院

山东省首批技能型人才培养特色名校 ● 全国供销系统示范性高职院校 ● 全国商科院校50强 ● 山东省最具专业特色高职院校 ● 山东省一流的财经商贸类高职院校

● 山东省综合实力前十高职院校 ● 山东省资产评估联盟发起单位 ● 省级经营管理专业校企合作单位 ● 教育部、财政部确定的“中央财政支持的实验实训基地”

省属公办院校

学校是山东省人民政府批准、国家教育部备案的具有高等学历教育招生资格的省属公办全日制普通高等院校。2011年, 被中华全国供销合作总社确定为全国供销系统示范性高职院校; 2012年, 被山东省教育厅、财政厅确定为山东省首批技能型人才培养特色名校。

山东经贸职业学院2013年招生计划一览表

山东省填报志愿院校代码: D97

(各专业填报志愿代号参照《2013年山东省普通高等院校招生填报志愿指南》)

招生专业	山东省招生计划			学费	学制
	文史	理工	对口		
商务英语 (金融英语方向)	25	35	25	2500	3
会计电算化	207	87	35	2500	3
会计电算化 (注册会计师方向)	207	158	25	2500	3
会计电算化	207	35	25	2500	3
会计电算化 (审计方向)	207	35	25	2500	3
金融管理与实务	30	30	25	2500	3
资产评估与管理 (金融资产评估、房地产资产评估方向)	203	74	25	2500	3
投资管理	44	22	25	2500	3
金融与证券	22	25	25	2500	3
商务 (金融企业会计与实务、投资理财方向)	28	28	25	2500	3
金融管理 (金融呼叫中心管理、银行业务管理)	228	35	25	2500	3
物流管理	54	35	25	2500	3
市场营销 (金融市场营销、汽车营销方向)	57	35	25	2500	3
营销与谈判	22	35	25	2500	3
电子商务 (金融电子商务方向)	44	35	25	2500	3
电子商务 (金阿丽巴巴营销、物流管理、国际贸易)	55	35	25	2500	3
人力资源管理	27	35	25	2500	3
报关与国际货运	38	74	25	2500	3
国际商务 (金融商务方向)	29	35	25	2500	3
商务英语	33	25	25	2500	3
应用韩语 (金融韩语方向)	22	22	25	2500	3
涉外旅游 (金融英语方向)	22	22	25	2500	3
旅游管理 (金融导游、会展管理与策划)	22	25	25	2500	3
社会工作	28	28	25	2500	3
电气自动化技术 (金融机电一体化方向)	28	28	25	2500	3
汽车电子技术 (金融应用电子技术、汽车维修服务方向)	28	28	25	2500	3
应用电子技术 (金融电子技术方向)	27	27	25	2500	3
计算机应用技术	28	28	25	2500	3
网络与计算机	22	22	25	2500	3
广告设计与制作	22	7	25	2500	3
艺术设计 (金融广告设计、环艺设计方向)	48	28	25	2500	3
会计	157	255	255		

备注: 具体招生计划以山东省教育招生考试院公布的《2013年山东省普通高等院校招生计划》为准。

财经商贸特色

学校立足建校80多年来积淀的财经、商贸类专业优势, 不求金球大, 争中地优势和形成了富有核心竞争力的以会计电算化专业为龙头的会计类专业群; 以资产评估与管理专业为龙头的金融类专业群; 以物流管理专业为龙头的商贸类专业群; 以报关与国际货运专业为龙头的国际贸易类专业群; 以计算机应用技术、动画设计与制作专业为龙头的科学与人文类专业群。

校企合作典范

学校先后与国际永拓(山东)会计师事务所、阿里巴巴、京东商城、沃尔玛百货有限公司、山东家家悦集团、顺丰速递集团等百余家居内外知名企业合作, 开展订单培养, 学生既能在校内模拟实训, 又能在企业岗岗实习, 实现了校企“零距离”。学校历年总体就业率均在98%以上。

招生趋势而上

近年来, 在生源逐年下降的情况下, 学校招生却逆势飘红。近三年, 学校一本录取率均超过100%。其中, 财经类专业在校生人数已达4800余人, 商贸类专业在校生人数已达2800余人。学校办学实力、办学质量和知名度、美誉度逐年提高。

学校招生对象

1. 高职(专科): 参加夏季高考、夏季高考的应(往)届高中毕业生和应(往)届中等职业学校(含职业中专、职业高中、普通中专、成人中专等)毕业生。
 2. 五年制高职(专科): 参加2013年高中升学考试或中专升高职考试的应(往)届初中毕业生, 生源限山东省内。

咨询电话: 0536-2600007, 2600077, 2600087, 2600088

学校地址: 山东省潍坊市潍城区青年路229号(潍坊市河西)

邮政编码: 261011 网址: www.sdjyu.com

公交线路: 28、29、38、39、51、63、71路公交车直达学校